五銭的基本参載
 E 面 $(x Y = \bar{n}, \varphi = 0)$; $H = \bar{n}$ $(x Y = \bar{n}, \theta = \pi/2)$ $\pi/2$ $\pi/2$ </t

归一化方向图: $F(\theta, \varphi) = \frac{f(\theta, \varphi)}{f(\theta_m, \varphi_m)}$

方向性系数: $D(\theta_0, \varphi_0)$ は $f^2(\theta_0, \varphi_0)$ が果方向関策特材称 (与φ无关)則. $D(\theta_0) = \frac{2P^*(\theta_0)}{\int_0^\pi F^2(\theta) \sin\theta d\theta}$ か果方向関策特材格 (与φ无关) 則. $D(\theta_0) = \frac{2P^*(\theta_0)}{\int_0^\pi F^2(\theta) \sin\theta d\theta}$ か 思妙子上の子 2

D 是最大輻射方向上的方向性系数. $\int_{0} F^{*}(\theta)\sin \alpha \omega$ $\int_{0}^{\infty} F^{*}(\theta)\sin \alpha \omega$ $\int_{0}^{\infty} f \phi \int_{0}^{\infty} F^{2}(\theta, \varphi)\sin \alpha \theta d\theta$ 上前了 $\int_{0}^{\infty} f \phi \int_{0}^{\infty} F^{2}(\theta, \varphi)\sin \alpha \theta d\theta$ 上前了 $\int_{0}^{\infty} f \phi \int_{0}^{\infty} F^{2}(\theta)\sin \alpha d\theta$ 上前了 $\int_{0}^{\infty} f \phi \int_{0}^{\infty} f \phi \int_{0}^{\infty} f \phi d\theta$ $\int_{0}^{\infty} f \phi \int_{0}^{\infty} f \phi \int_{0}^{\infty}$

收、发天线的极化一致。 **有效面积**:在天线极化完全匹配,以及负载匹配的状态下,天线在某方向上接收并传输至负载

有效面积,在大线板化完全配配,以及负载度配的状态下,天线在某方向上接收并传播至负载 的功率。R₆(n)。为人妈的均可带成功率需度 N₂ Lt. N₂ = [16]·79.a。 民为人就场强。 **有效长度**,天线上的开路易吧且KL¹与具有相同极化的均匀平面波入射电场后之比L₂。 **第入服**为。Z₂ = R₄ + K₂ i. R₄ = R₄ + R₅ 是天线由标准电阻R₂ = 2P₁/L² 是天线辐射电阻 ("喝吹"天线金融银力培养的电阻,"上正适宜的电流方式线上的效果电流)。 被束故事。是天线在某情和 2e₂ 内辐射接收的功率与其在整个空间辐射接收的总功率之比。

 $E_{ heta}=\mathrm{j}\eta_0rac{Idz}{2\lambda r}\mathrm{sin}\, heta e^{-\mathrm{j}eta r}$ 元天线 基本振子或电流元): $H_{\varphi} = j \frac{Idz}{2\lambda r} \sin \theta e^{-j\beta r}$ $F(\theta) = \sin \theta$ $E_r = E_{\varphi} = H_r = H_{\theta} = 0$ $R_r = \frac{2P_r}{1/r} = 80\pi^2 \left(\frac{dz}{\lambda}\right)^2; \quad D = \frac{2}{\int_0^\pi F^2(\theta) \sin \theta d\theta} = 1.5 \quad S_c = \left(\frac{\lambda^2}{4\pi}\right) D = \frac{3\lambda^2}{8\pi}$ ■近场区、电磁场在时间上相位相差 $\pi/2$,在某一时刻电场最大时磁场最小,磁场最大时电场

最小,为振荡电磁场,没有向外辐射的能量: (βr<<1) ■中场区,开始有向外辐射的能量,但存在交叉极化电场分量 Er, 使得在 r 与 θ 组成平面内的

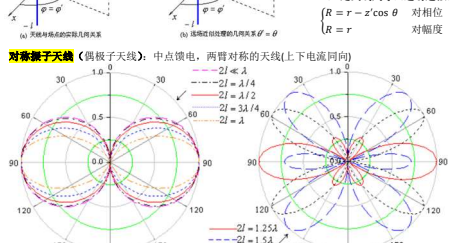
 ■一场上, 万如村川为市船的原理。 但好在文人被化电动方量 Er, 该得在了与电组成下面内的 仓료地场为椭圆处被。(Br-3)
 ■运场区、辐射电磁场只有(6)和 Hφ-分量。在时间上二者同相,空间上它们互相正交并垂直于 传播方向,形成被极化辐射波。(Br>>1)
 有限尺寸天线纷纷区划分。 P(x, y, z)场 区: 0 < r <

 $0.62 \cdot \sqrt{D^3/\lambda}$

幅射近场区(菲涅尔区)。

 $0.62\sqrt{D^3/\lambda} \le r \le 2D^2/\lambda$

远场区: $2D^2/\lambda \le r \le \infty$ (D是天线尺寸)(远场近似



对称振于天线全长 大型 个波长时,由于方向阻出,现在哪,其方向性降低。全长等于一个波长时的方向性 最强,但是馈电点处的电流为零,其输入阻抗为无穷大,难以匹配。因此,实

际中一般多采用半波振子天线。 $f(\theta) = \frac{\cos(\beta 1 \cos \theta) - \cos(\beta 1)}{\cos(\beta 1 \cos \theta)} f_{max} = f(\theta_m) = 1 - \cos(\beta l)$ $f(\theta) = \frac{\sin \theta}{\hbar}$ 沿着 y 軸放置時: $\cos \theta_y = \hat{r} \cdot \hat{y} = \sin \theta \sin \varphi$ 。沿 x 軸放置時 $\cos \theta_z = \sin \theta \cos \varphi$ $\frac{R_r}{\hbar}$ $\frac{R_r}{\hbar}$ $\frac{D}{\hbar} = 2f^2(\theta_m)/Q$ $\begin{array}{l} H_0 \neq \max_{\boldsymbol{q} \in \mathcal{Q}} \left(\frac{1}{\log |\mathcal{Q}|} \right) = \frac{\lambda}{\pi} \tan \left(\frac{\beta}{2} \right), l \leq 1.44, l \neq \lambda \quad R_{in} = \frac{R_r}{\sin^2(\beta l)} \quad D = \frac{2f^2(\theta_m)}{Q} \\ R_r = 60Q \qquad D = \frac{120f_{\max}^2}{Q} \qquad Q = \int_0^r f^2(\theta) \sin \theta d\theta \end{array}$ $D = \frac{120f_{\text{max}}^2}{5}$

 $u = \frac{v}{R_c}$ 平波振子: $2l = \lambda/2$; $L_v = \lambda/R$; Q = 1.2175, $R_{lm} = R_v = 73.10$, 銭級化
全波振子: $2l = \lambda$; $L_v = \infty R_v = 1991$, 超振子: $L_v = l$. **選挙任**史 倫 入風抗虚節 β 0 时的长度

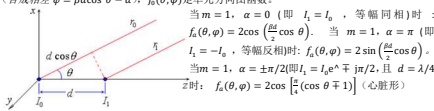
: 指载有行波电流的直线天线,它可以是菱形天线的一条边,也可以是单独构成地

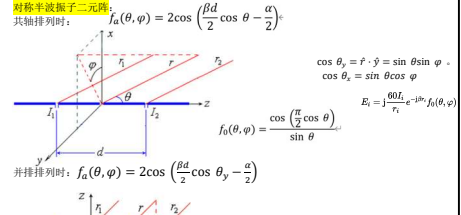
面上的性级行波大线。 方向图函数 $f(\theta) = \frac{\sin \theta}{\cos \theta} \sin \left[\beta l(\xi - \cos \theta)/2\right]; \xi = \beta'/\beta = \lambda/\lambda' = c/v \cdot v \right)$ 为电流 放在线上的传播速度。 (无衫时 $\xi = 1$)、特点。 $\blacksquare (\Lambda)$ 愈大,主胸愈聚近天线轴,主即宽度愈窄, 副刺愈多: \blacksquare 无衫时,两个线脚之间出现率值。 有邦列划无率值。 **那**直接式**是**10 数件表线的一个量,构成单线键法交换、天线一 段读电、一段开彩。 **无线**10 上的一提高天线的增益或方向性系数,组成阵列天线的独立单元天线单元或阵元。直线 电离电话和性不振力

阵或平面阵/共形阵。

普通二元阵: $E_T = j \frac{60l_0}{r_0} e^{-j\beta r_0} f_0(\theta, \varphi) [1 + me^{j(\beta d\cos\theta - \alpha)}]$ ா 是两单元电流幅度比,

a 是相位差。 $f_T(\theta, \varphi) = f_0(\theta, \varphi) f_a(\theta, \varphi)$ 。 $f_a(\theta, \varphi) = \left(e^{-j\psi/2} + m e^{j\psi/2}\right)$ 是阵因子 (合成相差 $\psi = \beta d\cos \theta - \alpha)$, $f_0(\theta, \varphi)$ 是单元方向图函数。





对于这样一个对称半波振子三元阵;采用叠加方法处理。各单元辐射场为; 近区总场为: $E_T = E_1 + E_2 + E_3$ 波程差: $r - r_1 = \hat{r} \square \vec{\rho}_1 = -d\sin\theta\sin\varphi$ 其中: $I_n = I_n e^{-j\alpha}$: α 是相位差 <mark>物勾直銭天銭碑・</mark>多个单元天线等间距排列在一条直线上、各单元的馈电幅度相等、相位均匀遂 变。激励电流为 $I_n = I_0e^{-\ln \alpha}, n = 0,1,2,\cdots,N-1$ 。 α 为相邻两单元的激励相位差。

| 作品 $\sigma_{i,1,2,i}$ $\sigma_{i,N}$ $\sigma_{i,N}$ $\sigma_{i,N}$ | 作品 $\sigma_{i,N}$ $\sigma_{i,N}$ $\frac{\sin\left[\frac{N\beta d}{2}(\cos\theta-\cos\theta_m)\right]}{N\sin\left[\frac{\beta d}{2}(\cos\theta-\cos\theta_m)\right]}\frac{d}{\lambda} < \frac{1}{1+|\cos\theta_n|}$

 f_{smax} 出现在 $\psi = 0$ 处,有 $f_{\text{amax}} = \lim_{h \to 0} \frac{\sin (N\psi/2)}{\sin (\psi/2)} = N$ 。 $\cos \theta_m = \frac{\alpha}{8d}$ 扫描阵 θ_m 为 最大扫描角

零点位置: 对侧射式天线阵, $\theta_m = \pi/2$, 第一个零点在 m = 1 处 $\cos \theta_0 = \cos \theta_m + \frac{m\lambda}{nd} \cos \theta_0 = \frac{\lambda}{nd}$ 对端射式天线阵, $\theta_m = 0$, 第一个零点在 m = -1 处 $\cos \theta_0 = 1 - \frac{\lambda}{nd}$

被調效度: 不扫描且 n 很大时; 对侧射阵: $2\varphi_{0.5} = 2\left(\frac{\pi}{2} - \theta_0\right) \approx 51 \frac{\lambda}{nd}(o)$ **方向性系数**: $\Theta = d = q^2(q - 1.2,...)$ 时: P = D = n. 在辐射灭犬线中. $\Theta = d = q^2$ 时, D = n. 特别的对于侧射式犬线. $\Theta = d = d = d = d$. 1, 侧射式天线阵: $\alpha = 0$, $\cos \theta_m = 0$, $\theta_m = (2m+1)\frac{\pi}{2}$, $m = 0,1,2,\cdots$



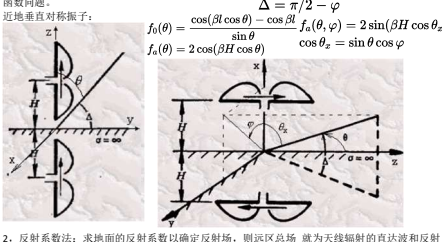
m = 3 d = λ/2 时,在阵轴侧向出现最大值,而在阵轴 方向辐射扬力零。若单元数增加,方向图主瓣将变窄, 副雕数将增加。方向图是关于阵轴旋转对称的。 ■当 d = λ 时,将出现多个主搬,多余的主瓣称为栅瓣

主辦零点宽度: $2\varphi_0 \approx \frac{2\lambda}{2}$ 2、端射式天线阵: $\alpha = \pm \beta d$ 时, $\cos \theta_m = \pm 1$, 得 $\theta_m = 0$ 或 π 。

 $S\theta_m=\pm 1$, $\beta\theta_m=0$ 政政市。 =3 d=3/4 时,端射阵方内图只有一个指向阵袖方 向的主题。当 d=3/2 时,端射阵方间因民种轴的两 人方向均出是舰头位、德明讯时下槽隙。对了姆州 脚的出现,其间距应满足 d<3/2 。端射阵方向图也 是关于阵轴旋转对称的,且当单元数增加时,方向图 主赖将变形。副衡数将增加。 $2\theta_{Bm} = 2\theta_{xm} \cdot 2\theta_{yr}$

主辦零点宽度: $2\varphi_0 = 2\sqrt{\frac{2\lambda}{nd}}$ $\sin\left(\frac{N_x}{2}\psi_x\right) = \sin\left(\frac{N_y}{2}\psi_y\right)$ 罗平爾夫獎達: $D = \frac{4\pi}{\lambda^2} S = 4\pi \frac{N_x d_x}{\lambda} \cdot \frac{N_y d_y}{\lambda} F(\theta, \varphi) = \frac{\sin\left(\frac{\tau_x}{2} \psi_x\right)}{N_x \sin\left(\frac{\psi_x}{2}\right)} \cdot \frac{\sin\left(\frac{\tau_x}{2} \psi_y\right)}{N_y \sin\left(\frac{\psi_y}{2}\right)}$ ★面对天總方向限的影响:地面或载体受天线影响产生二次场,与天线相互干涉

i对天线方向图的影响归结为求天线及其镜像天线组成的二元阵的方向图 1, 镜像法: 此寻电" 函数问题。 近地垂直对称振子: $\Delta = \pi/2 - \varphi$



2,反射系数法: 求地面的反射系数以确定反射场,则远区总场 就为天线辐射的直达波和反射 天线的图绘

海的短灯: 坡印亭全量法: 先来得天线的辐射功率 P_s . 然后由 $R_s = 2P_s/R_m$. 浓得其辐射电阻。缺 等值长转输入电阻,不能计算输入电抗; 电流为正弦分布且输入端为波节时无法使用。 等值长转载法,



半波振子的自阻抗为 73.1 + j42.5(Ω) (全波振子拆解为一个共轴半波振子二元阵) 对于一个对称振子阵: $Z_{ri}=\sum_{j=1}^{n} \frac{I_{mj}}{I_{mi}} Z_{ij}$ 。 总辐射阻抗为: 对于一个全半波振子 $Z_{\Sigma} = \sum_{i=1}^{r} Z_{ri}^{\epsilon}$ $D = \frac{120 f_T^2(\theta_m, \varphi_m)}{2}$ R_{Σ}

★2 元潔擬子: 一个由激励振子和一个无源振子组成的二元阵中,调节无源振子电流幅度与相位两种途径1.改变无源振子的长度,及两振子间距,以改变其自阻抗和互阻抗2.在无源振子上接入可变电抗调节短熔点位置,可改变接入电抗的大小和相位 地面对天线阻抗的影响:

近地垂直和水平二元阵的情况。 见地面对方向图的影响 天**线接收机**:接收平面电磁波,由于共轭匹配,最佳状态下只能吸收一半功率。 互异性。任意形式的天线用作接收天线时,它的极化、方向性、有效长度和阻抗等,均和它用

F及初入33吋相門。 接收功率: 负载和输入阻抗共轭匹配时, 有最佳工作状态。(接收最大主方向与来波方向一致)。

 $P_{re}(\theta,\varphi)=\frac{1}{2}|I|^2R_L=\frac{1}{2}\frac{(L_eF')^2}{4R_{\rm ln}}F^2(\theta,\varphi)$ 当 $F(\theta,\varphi)=1$ 且极化相同,有最大接收功率: $P_{\text{remax}} = \frac{1}{2} \frac{\left(L_e E^i\right)^2}{dR}$ 。由 $P_{re}(\theta, \varphi) = W_i \cdot S_e(\theta, \varphi)$,接收到的功率可以看成是具有面积为 S_e 的

口面所吸收入射电磁波的能流。当来波电场极化方向与接收天线极化方向一致时 $S_e(\theta, \varphi)$ = $\frac{\lambda^2}{4\pi}G(\theta,\varphi)$: 对于理想点源天线: G=1。

接收功率: $P_{re}(\theta, \varphi) = P_{Tin} \left(\frac{\lambda}{4\pi r}\right)^2 G_T(\theta', \varphi') G_r(\theta, \varphi)$ 传输系数: $T(\theta, \varphi) = \frac{P_{Te}(\theta, \varphi)}{P_{Tio}} = \left(\frac{\lambda}{4\pi r}\right)^2 G_T(\theta', \varphi') G_r(\theta, \varphi)$

被代公先因子》: 线敏性线吸收大致线效收线收收成时p = cos* a. 侧板化吸收较水下散伏可 wub. 国版使流接效应解化波本的中,另方向一致p = n. 照抗失限图 + z = 1 - [r] * <mark>键板天线的噪声温度</mark>,给咖啡,大气噪声,工业噪声,其无无线电设备引起的干涉噪声, 字油刷中,地球大气气体的基础等于生的噪声等。内部噪声,自由电子在该无线电设备的各元。器件中以及天线和 懷线中的热运动所引起。 噪声温度:降低系统的物理温度 TOA 和提高其传输效率 ηa。

环天线:接收装置中用得较多的一种天线形式. **双极与单极天线**

$f_T(\theta, \varphi) = 2 \frac{\cos\left(\frac{\pi}{2}\cos\Delta\right)}{\sin\Delta} \sin\left(\beta H \cos\theta\right)$ $\sin \Delta$ 根据通信仰角 Δ 选择架设高度 H



对素天始的病疗生度为向国常意。 $0 < I \lambda \le 0$ 、对称陈证子 的最大辐射方向保持在垂直于振于轴的方向)
方向性系数带宽。方向性系数从最大值下降到规定值的频率范围。
输入服务**完**《明常定》。以通过输入电流膨缓率的变化水计算对称张了的输入阻抗带宽。平均特性阻抗的大型宽度。减少时候阻抗的分类检光增大取工资值平径。 $2\Delta f = \frac{2(f-f)}{6} = 2\left[1-\frac{2}{\pi}(\mathbf{e}^{-1}\left(\frac{G_{1}}{A_{2}}\right)\right] \quad Z_{0}^{\prime} = 120\left[\ln\left(\frac{R}{\rho_{c}}\right)-1\right] \quad R_{c}$ 是诺振时输入电阻,对称报于天线的方向阻,潜起随频率的变化相对于其输入阻抗来很不放散。因此,只要确定了输入阻抗的操带度。 侧线排降管度的工程分析来不可能可能加速,从一个主人写出,从一个一个工具。

图与半波振子方向图相同) $R_{in} = 4R_{11} = 4 \times 73.1 = 292.4\Omega$



双电天线 半张用愈大,特性限用愈大 重直提随原了 化埃茨夷技术那具直接地这样形式)。方向性系数 D,是相应的自由空间 中对称形子的 2 倍,有效长度 L_{s} ,细射电阻 R_{s} ,输入阻抗 L_{s} 是收应据于约0一半,损离中 长波天线效率。= 加京增加辐射电阻 R 的有效途径 = 简设地闸、辅政地闸可减少地面损耗。 **金单天战**。因此市均同路越率的变化比较度为1的纸子泵平缓停多 辐射垂直极化滤,方向 子的方向图基本相同。

双维子给·坐引鱼命士、特性阳拉命小

因与对称银丁的万円因至平files。 **缴天线的馈电装置: 1**、双线传输线馈电。馈电原则: ➤双线平行且对地平衡: ➤双线到天线 《新天始時傳傳章》 1、双發性輪乾懷也、懷电原則。 > 双线好干且对地下衡; > 双数损开线量 是首角: > 一双线则呼延延中。 > 万头线要匹配。在要契收高的天线电中也,连接安集加匹配 装置。原因: ■ 厂线输入照抗的计算信与实际信子一定差距。如晚也点 建腺 6 的不同; ■ 双 级铁验验镜哪也所激励。 2、同龄检验镜物性。《纽州麻幸拉条》 海安縣指排戶) 平實安熱島 ("巴仑" Balun)。 用于阻塞和抑制闸地线外导体外表面电流。使电张分布不平衡 的方向附与异常和其正常。 种类; (1) 若耐火变换器(2) 短苏式变换器(5) 同轴游变变换器 (4) U 形管变换器 ""炒长"



大风件 場幅展天线: ➤編編展天线可以看成是一种特殊的对称振子,相当于振子的直径得到了加租 因此具有電频帶的特性 ➤ 从结构特点看,可以看成上,中、下多个电长度不同的对称振子并 联而成,各振于谐振频率不同。➤将兩編編輯異天线在同一高度垂直放置可以达到水平面均 匀辐射的目的。 **行被天线:** ➤电流为行波分布, 不存在反射电流: ➤输入阻抗和方向图对频率变化不敏感:

频带宽,绝对带宽可达(2:1至3:1): ➤效率低 **假极于加能天线**: 在天线适当的位置接入电阻或电抗元件,其目的是为了改善天线中的电流分 了能地接近行波状态,以展宽工作频带

能形不处。

(1) 单线行波天线 (2) V型天线 (3) 麦型天线(Rhombic antenna) 安形天线的优点 「行波、频带宽(53);结构简单,增盘高、(但效率不一定高)前后比大,维维力强。频率保险、主物师面外、适合短波通信。可采受效大功率,变形天线的缺点。占地面取大,剧脚多、电平高,由于疼痛故中阻,效率低(60.70%),对毒—及物型排除作(Wanner-Moodynay)。等一是各类规则,电磁波沿线体循环溶解的相位,与电波在自由空间同一方向,传播同一长度所得后的相位差为时。行波天线具有最大的方向性

系数。最佳行波天线长度: $L_{opt}=\lambda/2(eta'/eta-1)$ 最佳设计波瓣宽度: $2oldsymbol{arphi}_{0.5}=61^{\circ}$



后,副 瓣后瓣小(副瓣在-20dB.后瓣-30dB)。

线:用金属线缠绕成螺旋形状,同轴线馈电。特性取决于螺旋直径与波长比 D/A (1) 法向模螺旋天线D/A < 0.18 (2) 轴向模螺旋天线 0.25 < D/λ

0.46 (3) 比值进一步加大,最大辐 射方向偏离轴线 1 $c^2 = (\pi D)^2 + h^2$, $\Delta =$

 $R = R \| \hat{\mathbf{M}}_{\mathbf{K}} \| \hat{\mathbf{M}}_{\mathbf{K$

旅天线, C 接近λ时、螺旋天线上电流时行波、沿轴线方向有最大辐射、并且是圆极(I

 $F(\psi) = \frac{\sin\frac{N\psi}{\sigma}}{N\sin\frac{\psi}{\sigma}}, \psi = \beta h \cos\theta - \alpha : E = \cos\theta F(\psi)$. $\pm i m \frac{\pi}{2} g \xi 2 \varphi_{05} = \frac{52^*}{\xi \sqrt{Nh}}$ $\beta n \in \mathbb{R}$

数: $D=15\left(\frac{c}{\lambda}\right)N\frac{h}{\lambda}$: 输入阻抗: $R_{inn}=140(C/\lambda)$; AR=(2N+1)/(2N)



互补天线: $Z_{laphi}\cdot Z_{oldsymbol{\otimes}\mathbb{H}}=\eta^2/4$ $Kr(\varphi) = r(\varphi + \beta)$ 自补天线: $Z_{2^{cq}}=Z_{2^{cq}}=\eta/2=188.5$ (欧) 等角螺旋天线最大辐射方向在法向,且为圆板化。为了获得单向辐射,可加腔或者把螺旋绕在

 $r = a\varphi$ $r = a\varphi$



, 齿片的作用主要是使横向电流远大于径向 因用的作用主要是快帆响电流。是人工作用 电流。当齿片长度约为四分之一波长时,将 在齿片上漩肠起很大的横向电流。该区域成 为辐射区。因此,最长齿片约为最 大波长 的四分之一,最短齿片为最小波长的四分之

の 新用物

② 新用物

参加期間機長子機(PA)小支針側側指子大线/为三个区, 性緒区, 激励組針区和未激胎区。
在某个频率上对大线镜电时, 传输区的短报子长度这小于工作波长, 基本不辐射电磁能量, 仅 起传输作用, 赖勒辐射区的孩子长度接近工作波长, 的 12.4 对效辐射电磁能量, 未激励后的孩子、反误支大于12.4 广波长、基本不辐射电磁能量, 未激励后的孩子、反误支大于12.4 广波长、基本不编制电磁能量, 法则影作作用, 改变工作集中率时, 激励辐射区路线开发,使天线具有重频带。 为向国和输入跟抗基本不变。 是大辐射方向在镜电端的短振子方。在影响器似层化冷、线上。